

FIG. 1A

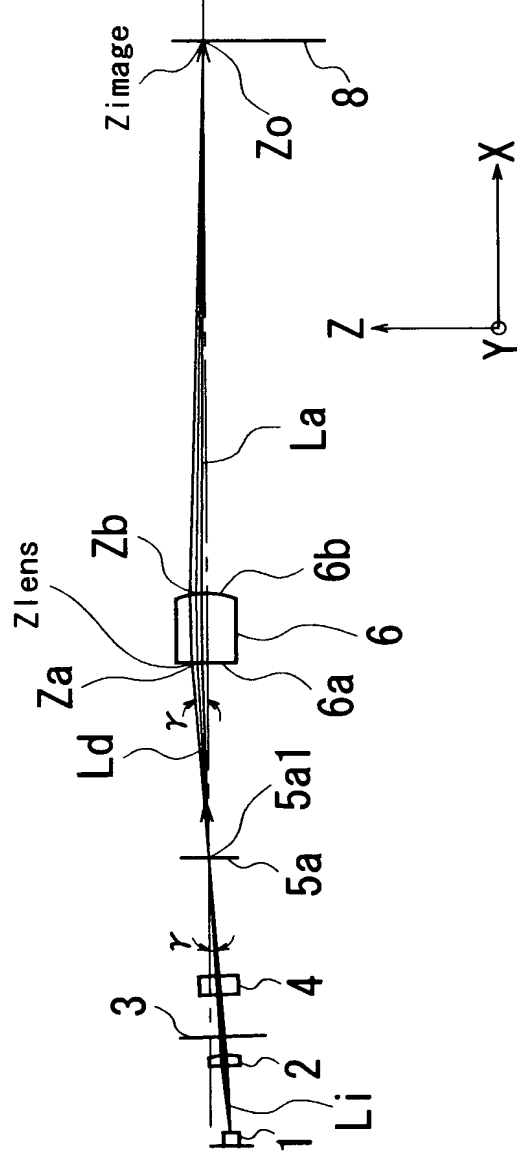


FIG. 1B

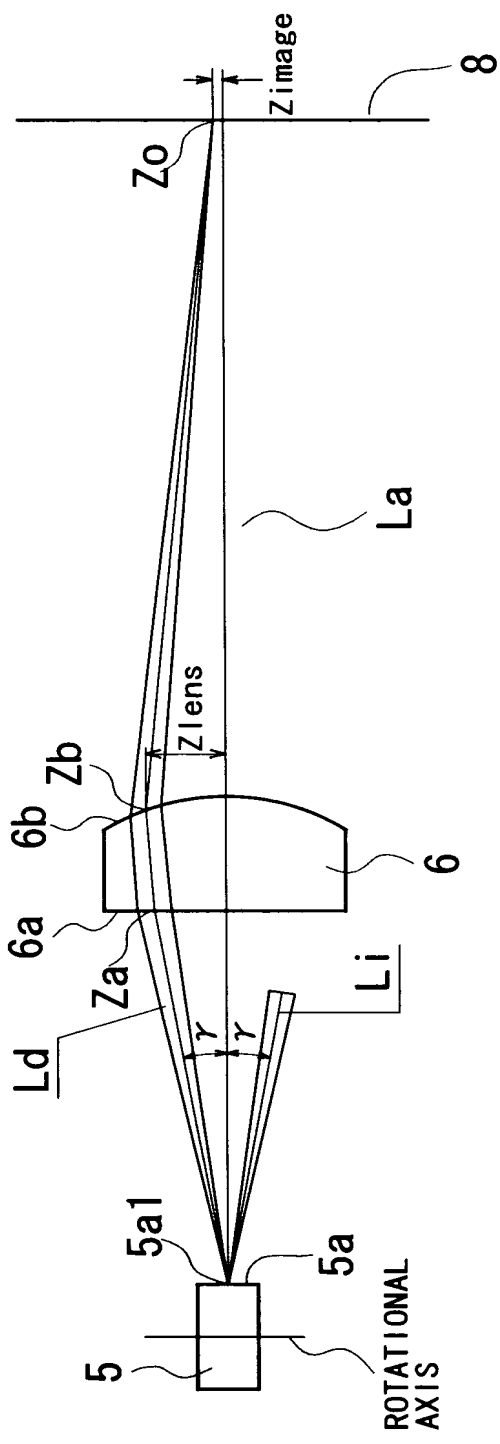
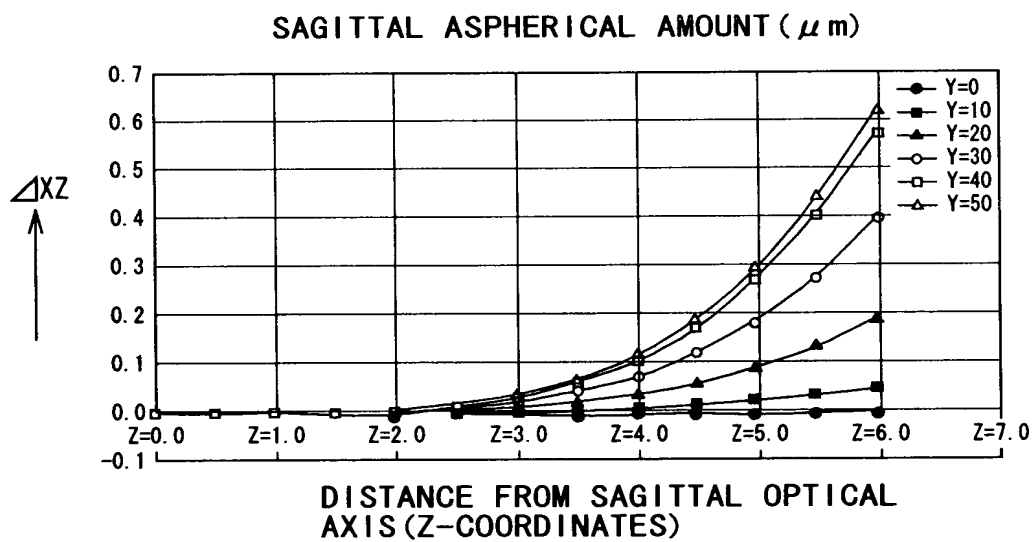
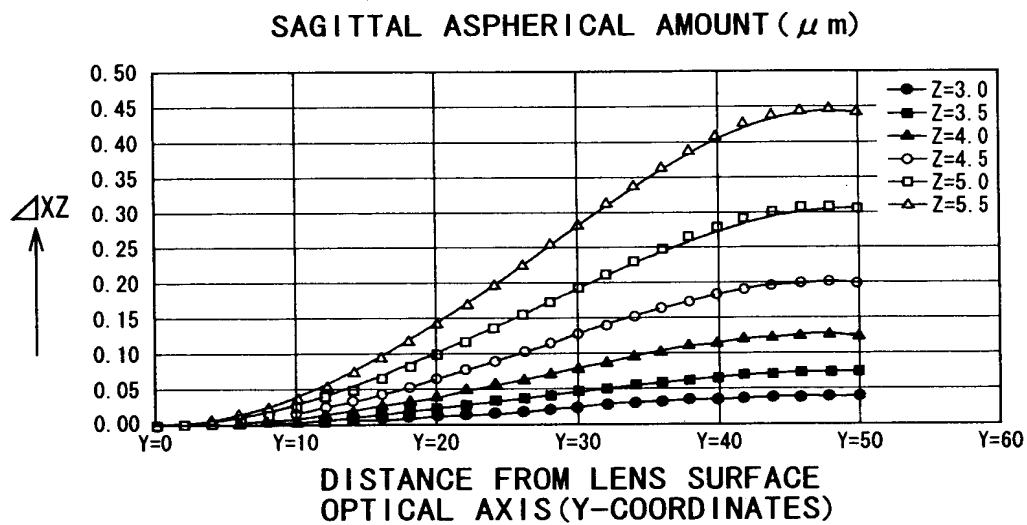


FIG. 2

DISTANCE FROM LENS SURFACE OPTICAL AXIS (Y-COORDINATES)		SAGITTAL ASPHERICAL AMOUNT ( $\mu\text{m}$ ) OF EXIT SURFACE 6b															
Y (mm) \ Z (mm)		DISTANCE FROM SAGITTAL OPTICAL AXIS (Z-COORDINATES)															
		Z=0.0	Z=0.5	Z=1.0	Z=1.5	Z=2.0	Z=2.5	Z=3.0	Z=3.5	Z=4.0	Z=4.5	Z=5.0	Z=5.5	Z=6.0			
Y= 0		0.0000	0.0000	0.0000	0.0000	0.0000	0.0000	0.0000	0.0000	0.0000	0.0000	0.0000	0.0000	0.0000			
Y= 2		0.0000	0.0000	0.0000	0.0000	0.0000	0.0001	0.0001	0.0003	0.0004	0.0007	0.0011	0.0016	0.0022			
Y= 4		0.0000	0.0000	0.0000	0.0000	0.0001	0.0003	0.0006	0.0010	0.0018	0.0028	0.0043	0.0063	0.0089			
Y= 5		0.0000	0.0000	0.0000	0.0001	0.0002	0.0006	0.0012	0.0023	0.0039	0.0063	0.0096	0.0141	0.0199			
Y= 8		0.0000	0.0000	0.0000	0.0001	0.0004	0.0011	0.0022	0.0041	0.0070	0.0111	0.0170	0.0248	0.0352			
Y=10		0.0000	0.0000	0.0000	0.0002	0.0007	0.0016	0.0034	0.0063	0.0108	0.0173	0.0263	0.0385	0.0545			
Y=12		0.0000	0.0000	0.0001	0.0003	0.0010	0.0023	0.0049	0.0090	0.0154	0.0246	0.0375	0.0549	0.0778			
Y=14		0.0000	0.0000	0.0001	0.0004	0.0013	0.0032	0.0065	0.0121	0.0207	0.0331	0.0504	0.0739	0.1046			
Y=16		0.0000	0.0000	0.0001	0.0005	0.0017	0.0041	0.0084	0.0156	0.0266	0.0426	0.0650	0.0951	0.1348			
Y=18		0.0000	0.0000	0.0001	0.0007	0.0021	0.0051	0.0105	0.0194	0.0332	0.0531	0.0810	0.1185	0.1679			
Y=20		0.0000	0.0000	0.0002	0.0008	0.0025	0.0061	0.0127	0.0236	0.0402	0.0644	0.0982	0.1437	0.2035			
Y=22		0.0000	0.0000	0.0002	0.0009	0.0030	0.0073	0.0151	0.0279	0.0477	0.0764	0.1164	0.1704	0.2413			
Y=24		0.0000	0.0000	0.0002	0.0011	0.0035	0.0085	0.0175	0.0325	0.0554	0.0888	0.1354	0.1982	0.2807			
Y=26		0.0000	0.0000	0.0002	0.0013	0.0040	0.0097	0.0201	0.0372	0.0634	0.1016	0.1549	0.2268	0.3212			
Y=28		0.0000	0.0000	0.0003	0.0014	0.0045	0.0109	0.0226	0.0419	0.0715	0.1146	0.1747	0.2557	0.3622			
Y=30		0.0000	0.0000	0.0003	0.0016	0.0050	0.0121	0.0252	0.0467	0.0796	0.1275	0.1944	0.2846	0.4030			
Y=32		0.0000	0.0000	0.0003	0.0017	0.0055	0.0134	0.0277	0.0513	0.0875	0.1402	0.2137	0.3128	0.4430			
Y=34		0.0000	0.0000	0.0004	0.0019	0.0059	0.0145	0.0301	0.0558	0.0951	0.1524	0.2322	0.3400	0.4815			
Y=36		0.0000	0.0000	0.0004	0.0020	0.0064	0.0156	0.0324	0.0599	0.1023	0.1638	0.2497	0.3655	0.5177			
Y=38		0.0000	0.0000	0.0004	0.0022	0.0068	0.0166	0.0344	0.0638	0.1088	0.1742	0.2656	0.3888	0.5507			
Y=40		0.0000	0.0000	0.0004	0.0023	0.0072	0.0175	0.0362	0.0671	0.1145	0.1834	0.2796	0.4093	0.5797			
Y=42		0.0000	0.0000	0.0005	0.0024	0.0076	0.0182	0.0377	0.0699	0.1193	0.1911	0.2912	0.4264	0.6038			
Y=44		0.0000	0.0000	0.0005	0.0024	0.0077	0.0187	0.0389	0.0720	0.1229	0.1968	0.3000	0.4392	0.6221			
Y=46		0.0000	0.0000	0.0005	0.0025	0.0078	0.0191	0.0396	0.0733	0.1251	0.2004	0.3055	0.4472	0.6334			
Y=48		0.0000	0.0000	0.0005	0.0025	0.0079	0.0192	0.0398	0.0737	0.1258	0.2015	0.3071	0.4496	0.6368			
Y=50		0.0000	0.0000	0.0005	0.0025	0.0078	0.0190	0.0394	0.0731	0.1247	0.1997	0.3044	0.4456	0.6312			

FIG. 3



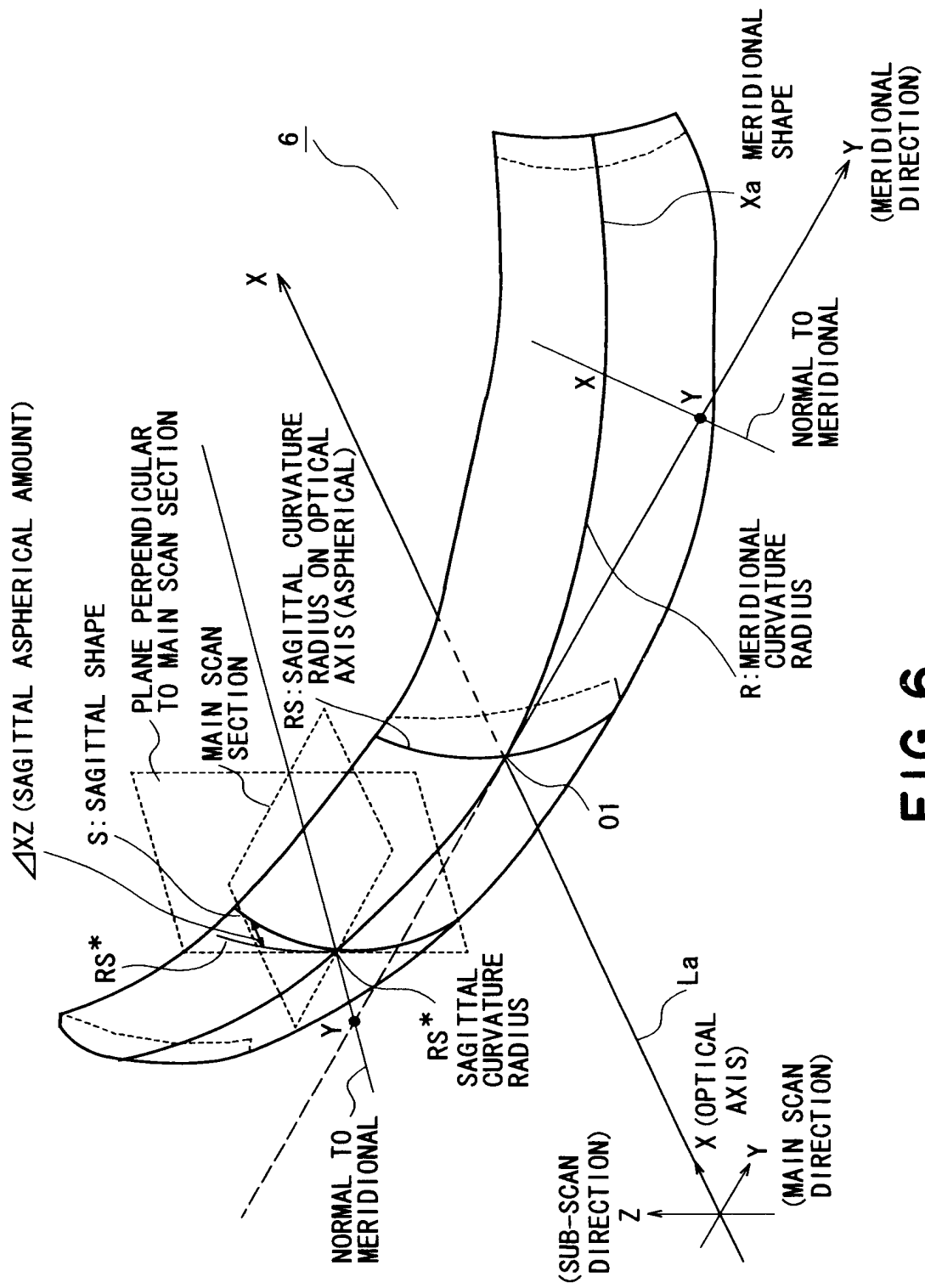
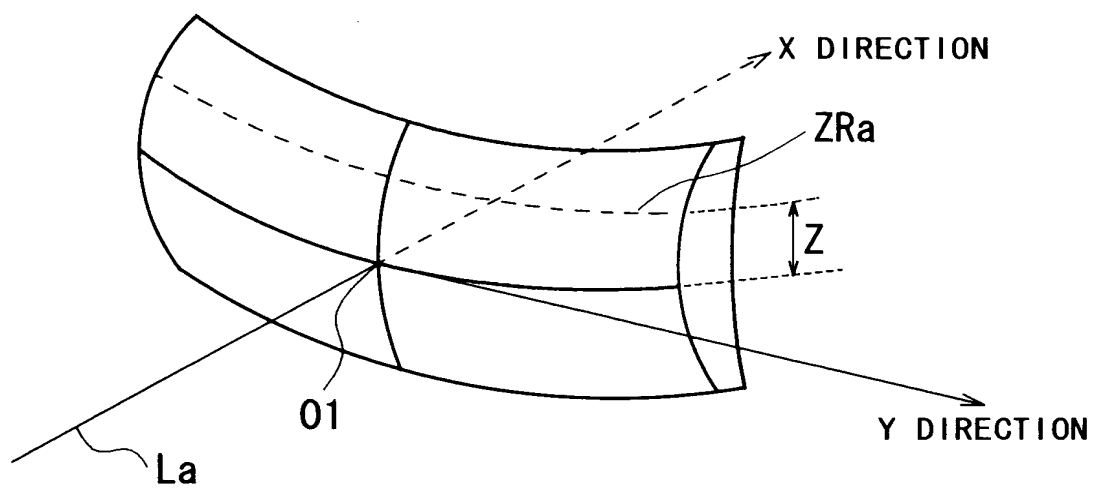
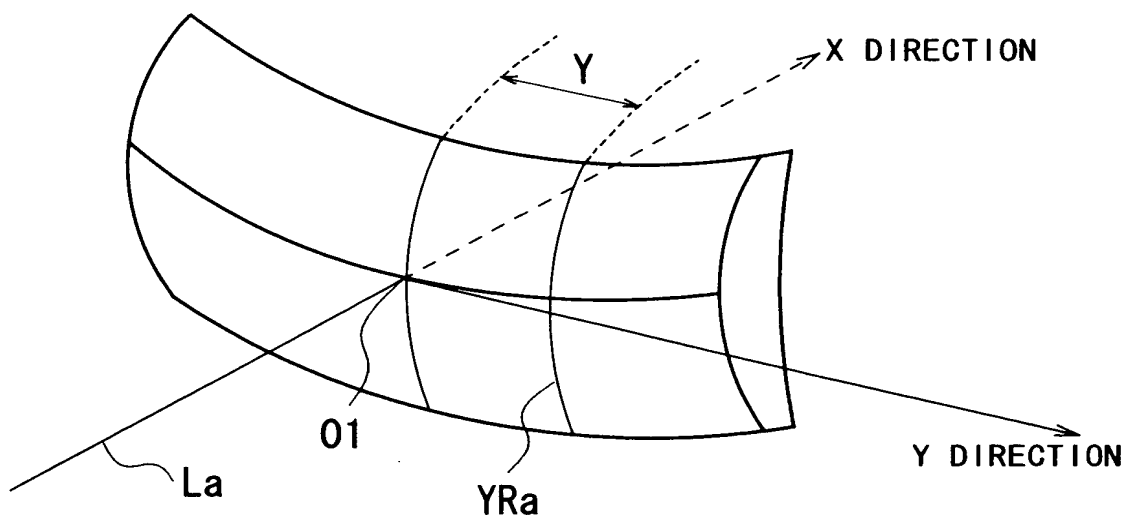


FIG. 6



**FIG. 7**



**FIG. 8**

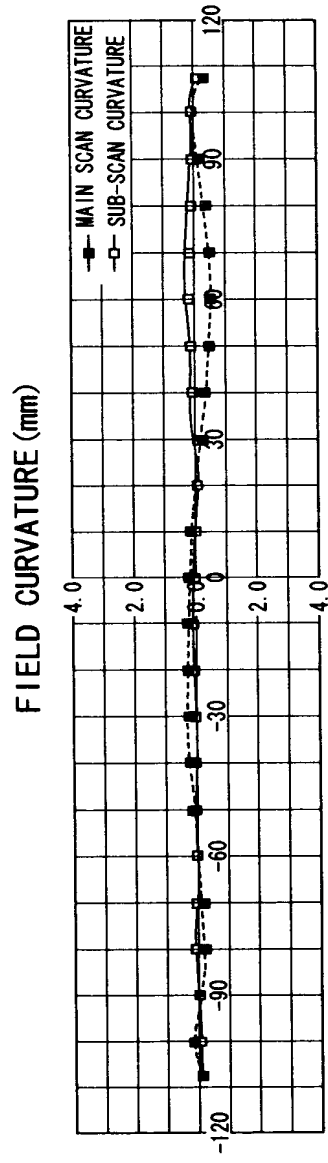


FIG. 9A

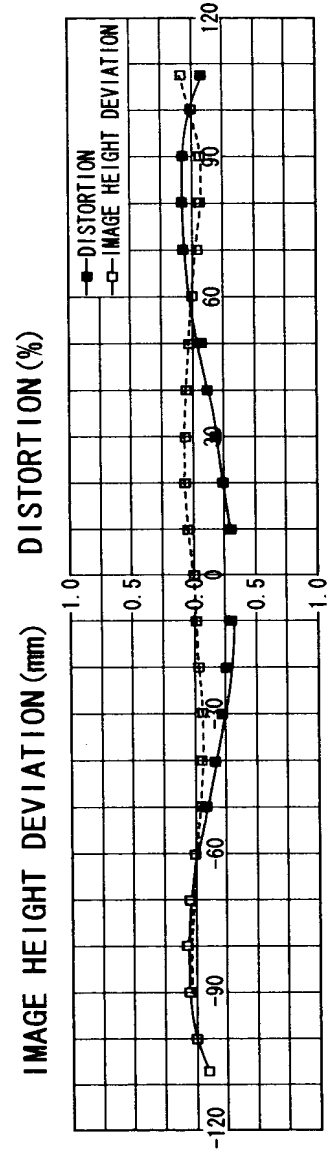


FIG. 9B



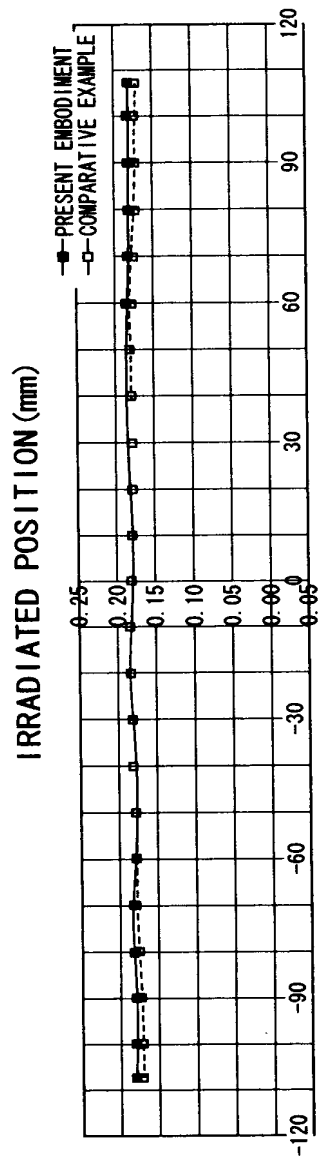


FIG. 10A

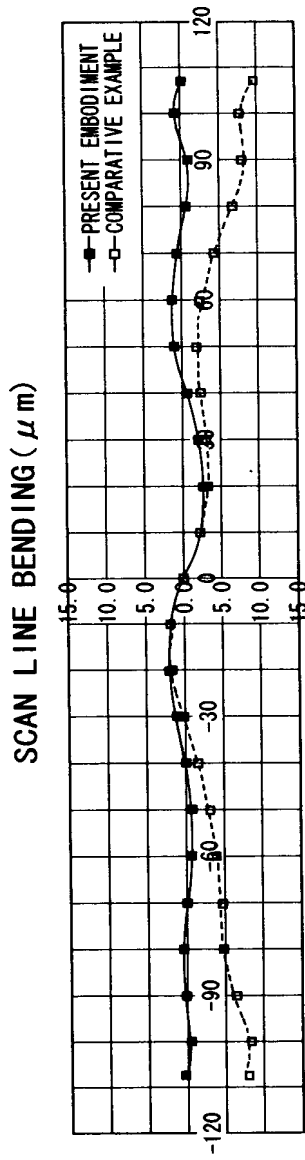
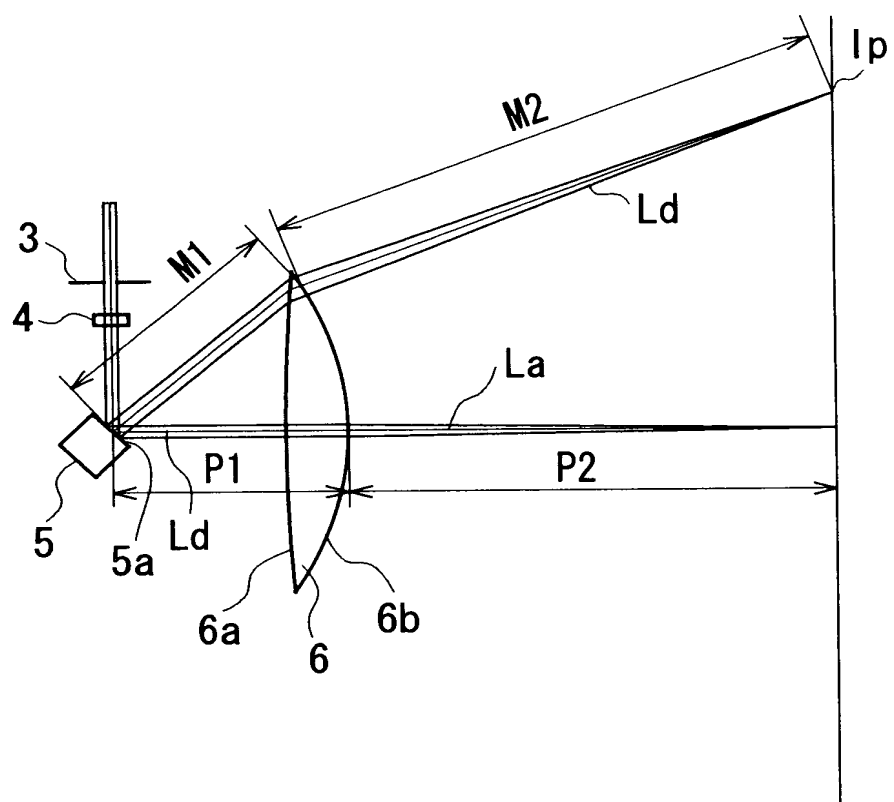


FIG. 10B



**FIG. 11**

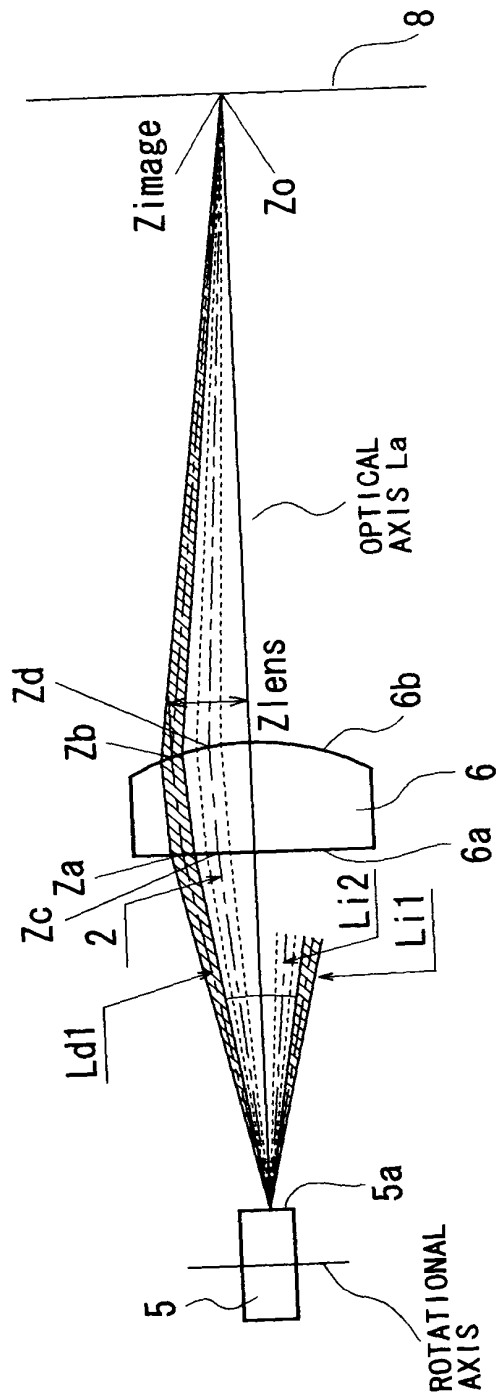


FIG. 12A

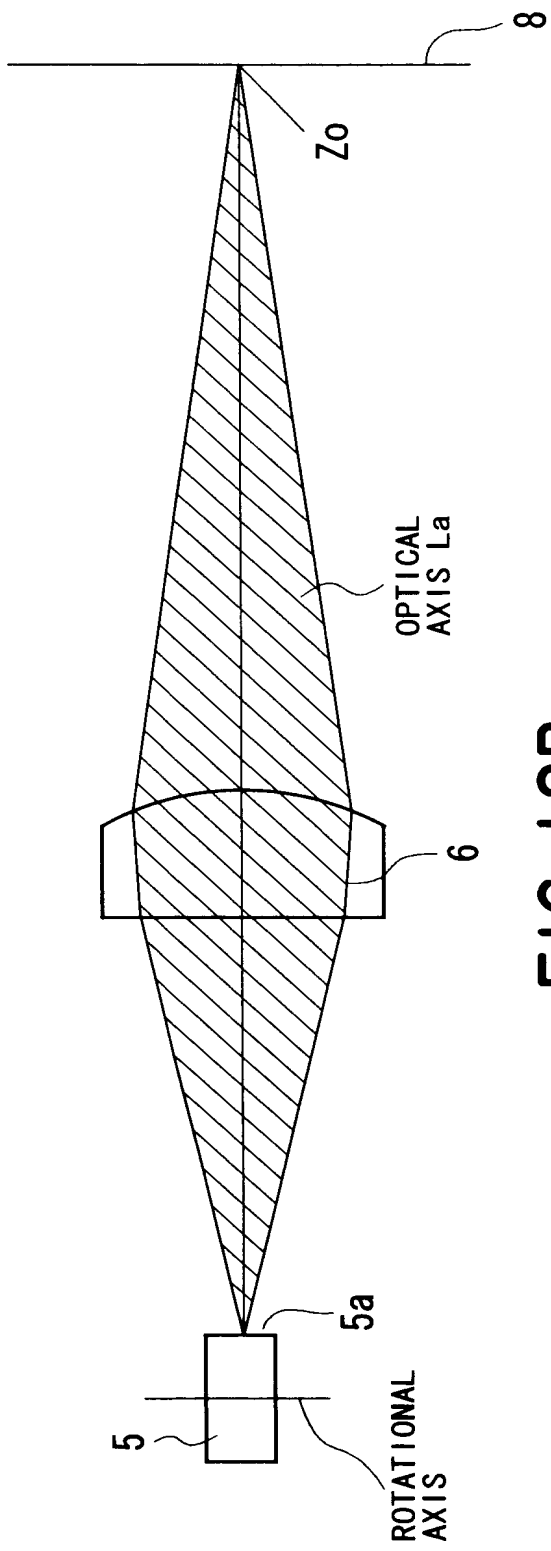
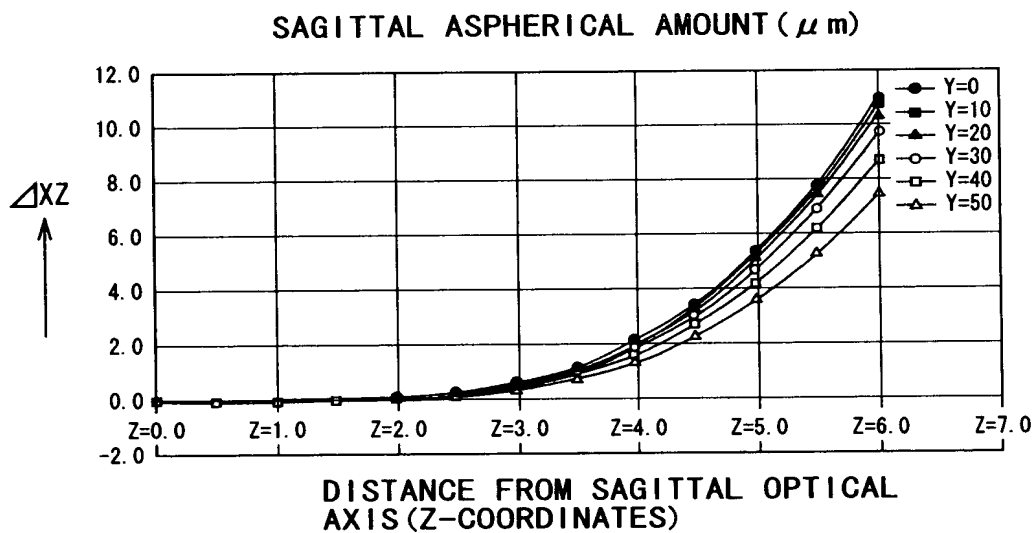
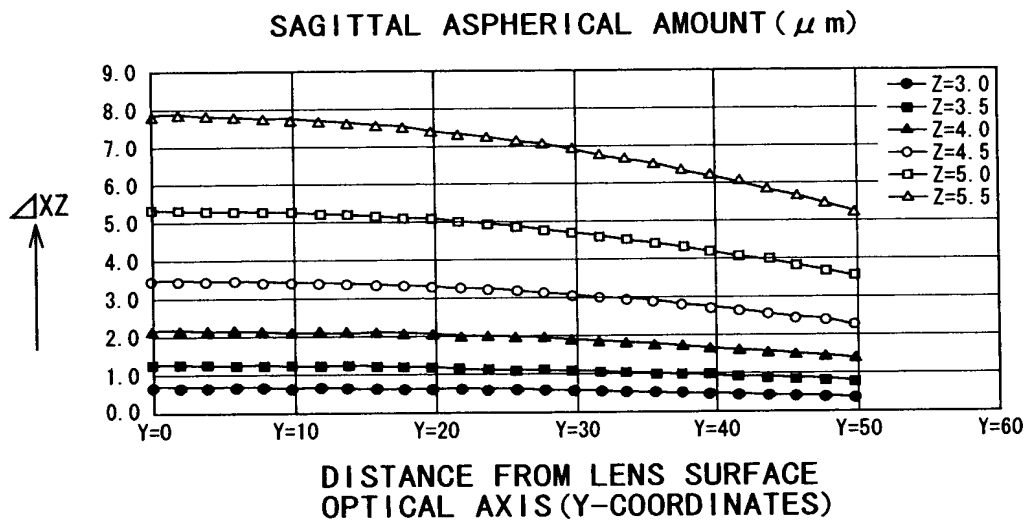


FIG. 12B

SAGITTAL ASPHERICAL AMOUNT ( $\mu\text{m}$ ) OF EXIT SURFACE 6b																
Y (mm) \ Z (mm)	DISTANCE FROM SAGITTAL OPTICAL AXIS (Z-COORDINATES)															
	Z=0.0	Z=0.5	Z=1.0	Z=1.5	Z=2.0	Z=2.5	Z=3.0	Z=3.5	Z=4.0	Z=4.5	Z=5.0	Z=5.5	Z=6.0			
Y=0	0.0000	0.0005	0.0086	0.0433	0.1370	0.3344	0.6935	1.2847	2.1917	3.5107	5.3508	7.8341	11.0954			
Y=2	0.0000	0.0005	0.0086	0.0433	0.1369	0.3343	0.6931	1.2841	2.1906	3.5089	5.3481	7.8302	11.0899			
Y=4	0.0000	0.0005	0.0085	0.0433	0.1367	0.3338	0.6921	1.2821	2.1873	3.5036	5.3400	7.8184	11.0731			
Y=5	0.0000	0.0005	0.0085	0.0431	0.1364	0.3329	0.6903	1.2789	2.1818	3.4948	5.3266	7.7986	11.0452			
Y=8	0.0000	0.0005	0.0085	0.0430	0.1359	0.3317	0.6879	1.2744	2.1740	3.4824	5.3077	7.7710	11.0061			
Y=10	0.0000	0.0005	0.0085	0.0428	0.1353	0.3302	0.6847	1.2686	2.1641	3.4665	5.2835	7.7355	10.9558			
Y=12	0.0000	0.0005	0.0084	0.0426	0.1345	0.3284	0.6809	1.2614	2.1520	3.4470	5.2538	7.6922	10.8944			
Y=14	0.0000	0.0005	0.0084	0.0423	0.1336	0.3262	0.6764	1.2530	2.1376	3.4241	5.2188	7.6409	10.8218			
Y=16	0.0000	0.0005	0.0083	0.0419	0.1326	0.3237	0.6711	1.2433	2.1211	3.3976	5.1784	7.5817	10.7380			
Y=18	0.0000	0.0005	0.0082	0.0416	0.1314	0.3208	0.6652	1.2323	2.1023	3.3675	5.1326	7.5147	10.6430			
Y=20	0.0000	0.0005	0.0081	0.0412	0.1301	0.3176	0.6586	1.2201	2.0814	3.3339	5.0815	7.4398	10.5369			
Y=22	0.0000	0.0005	0.0080	0.0407	0.1286	0.3141	0.6512	1.2065	2.0582	3.2968	5.0249	7.3570	10.4196			
Y=24	0.0000	0.0005	0.0079	0.0402	0.1271	0.3102	0.6432	1.1916	2.0328	3.2562	4.9630	7.2663	10.2912			
Y=26	0.0000	0.0005	0.0078	0.0397	0.1253	0.3060	0.6345	1.1754	2.0052	3.2120	4.8956	7.1677	10.1515			
Y=28	0.0000	0.0005	0.0077	0.0391	0.1235	0.3014	0.6250	1.1580	1.9755	3.1643	4.8229	7.0612	10.0007			
Y=30	0.0000	0.0005	0.0076	0.0384	0.1215	0.2965	0.6149	1.1392	1.9435	3.1131	4.7448	6.9468	9.8388			
Y=32	0.0000	0.0005	0.0075	0.0378	0.1193	0.2913	0.6041	1.1192	1.9093	3.0583	4.6613	6.8246	9.6656			
Y=34	0.0000	0.0005	0.0073	0.0370	0.1171	0.2858	0.5926	1.0978	1.8729	3.0000	4.5724	6.6944	9.4813			
Y=36	0.0000	0.0004	0.0072	0.0363	0.1146	0.2799	0.5804	1.0752	1.8342	2.9381	4.4781	6.5564	9.2858			
Y=38	0.0000	0.0004	0.0070	0.0355	0.1121	0.2737	0.5674	1.0513	1.7934	2.8727	4.3785	6.4105	9.0792			
Y=40	0.0000	0.0004	0.0068	0.0346	0.1094	0.2671	0.5538	1.0260	1.7504	2.8038	4.2734	6.2567	8.8614			
Y=42	0.0000	0.0004	0.0067	0.0337	0.1066	0.2602	0.5395	0.9995	1.7052	2.7313	4.1630	6.0950	8.6324			
Y=44	0.0000	0.0004	0.0065	0.0328	0.1036	0.2529	0.5245	0.9717	1.6577	2.6553	4.0472	5.9255	8.3922			
Y=46	0.0000	0.0004	0.0063	0.0318	0.1005	0.2454	0.5088	0.9426	1.6041	2.5758	3.9260	5.7480	8.1409			
Y=48	0.0000	0.0004	0.0061	0.0308	0.0973	0.2375	0.4924	0.9122	1.5582	2.4928	3.7994	5.5627	7.8784			
Y=50	0.0000	0.0004	0.0059	0.0297	0.0939	0.2292	0.4753	0.8805	1.5022	2.4062	3.6674	5.3694	7.6047			

FIG. 13



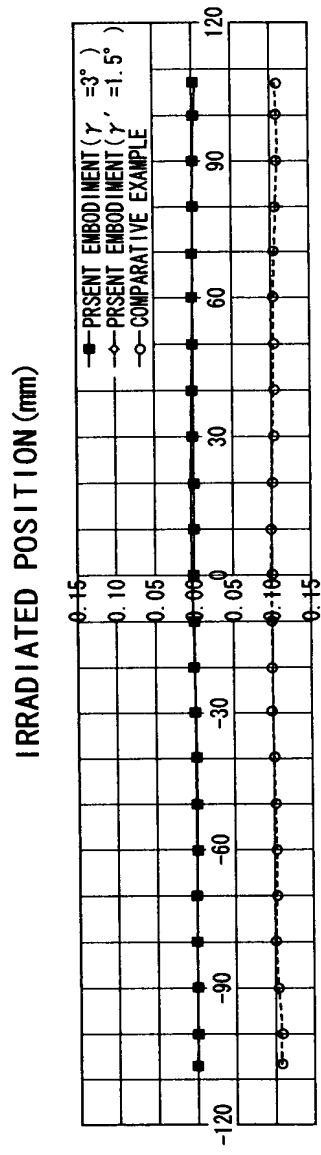


FIG. 16A

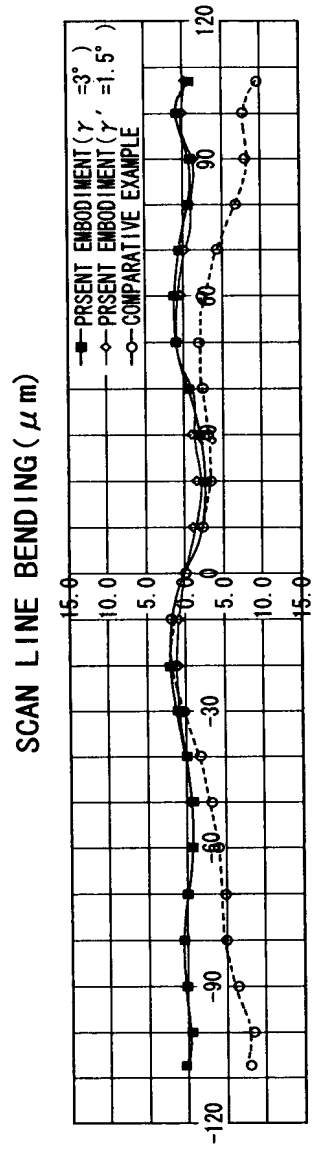


FIG. 16B

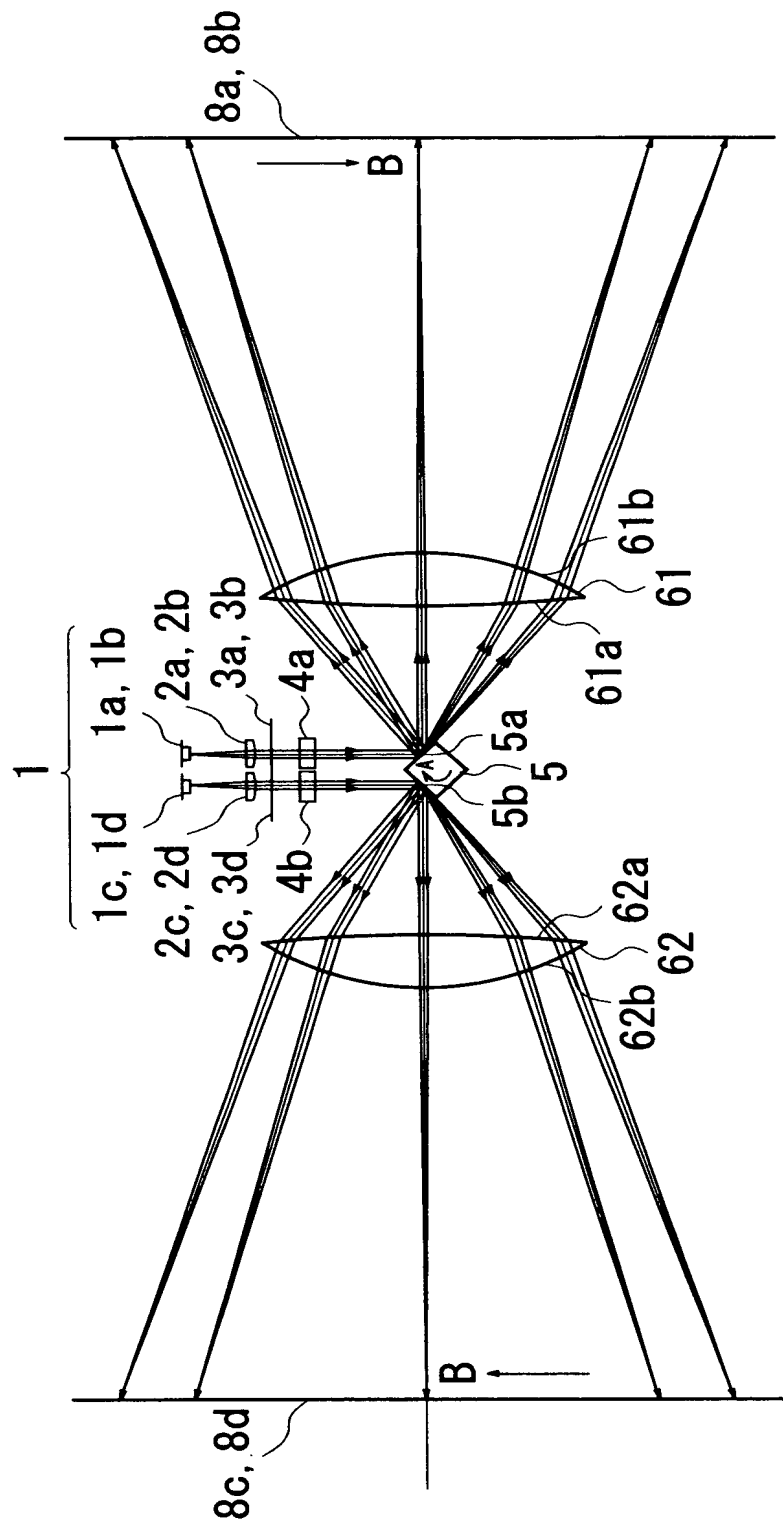


FIG. 17A



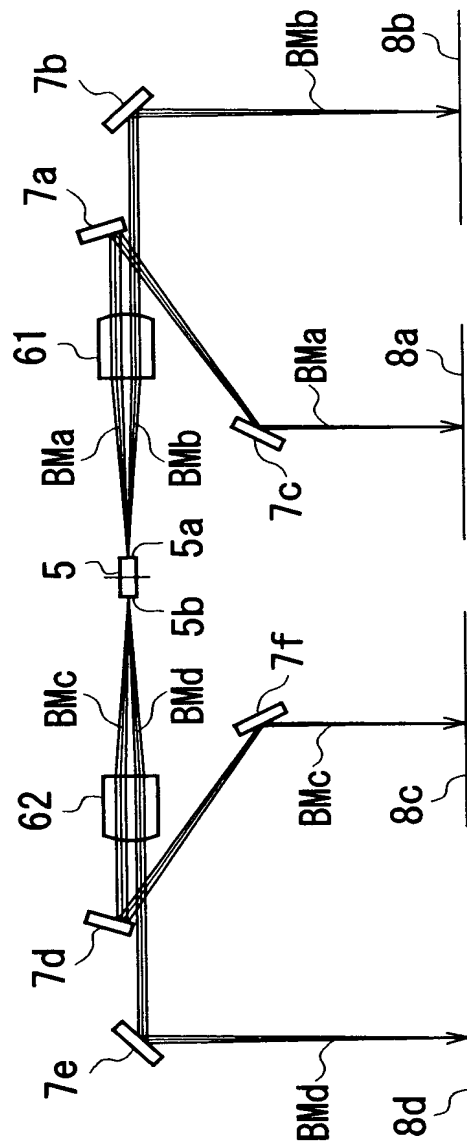
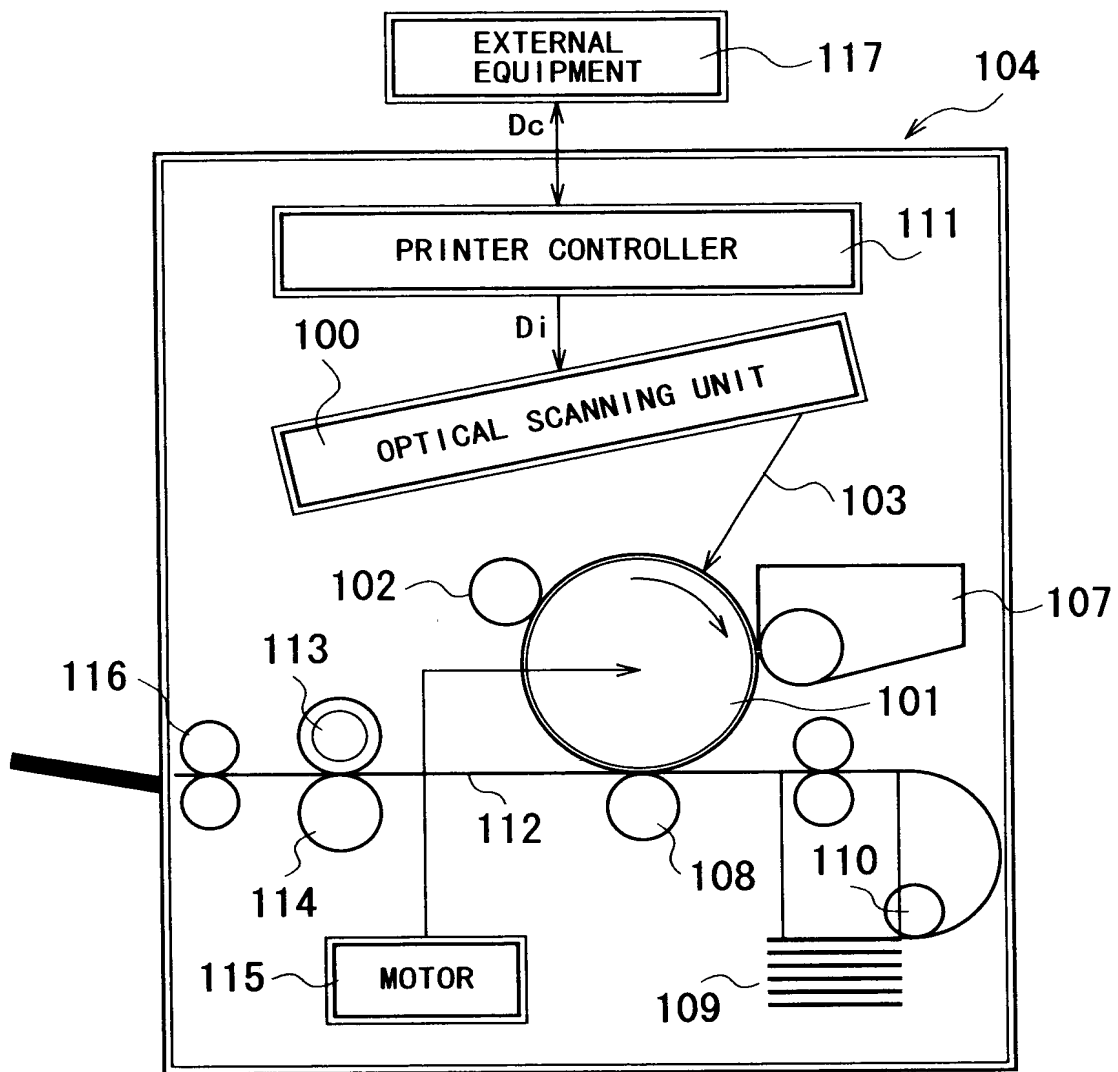


FIG. 17B



**FIG. 18**

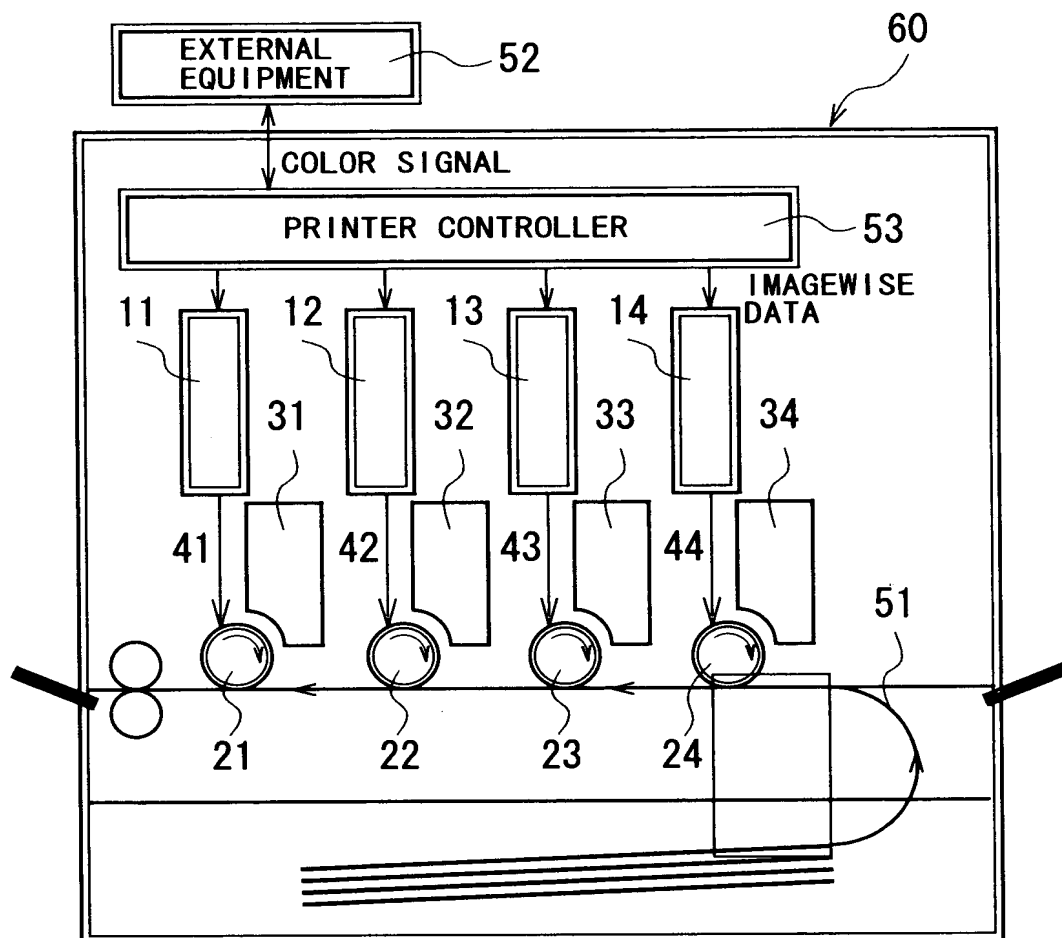
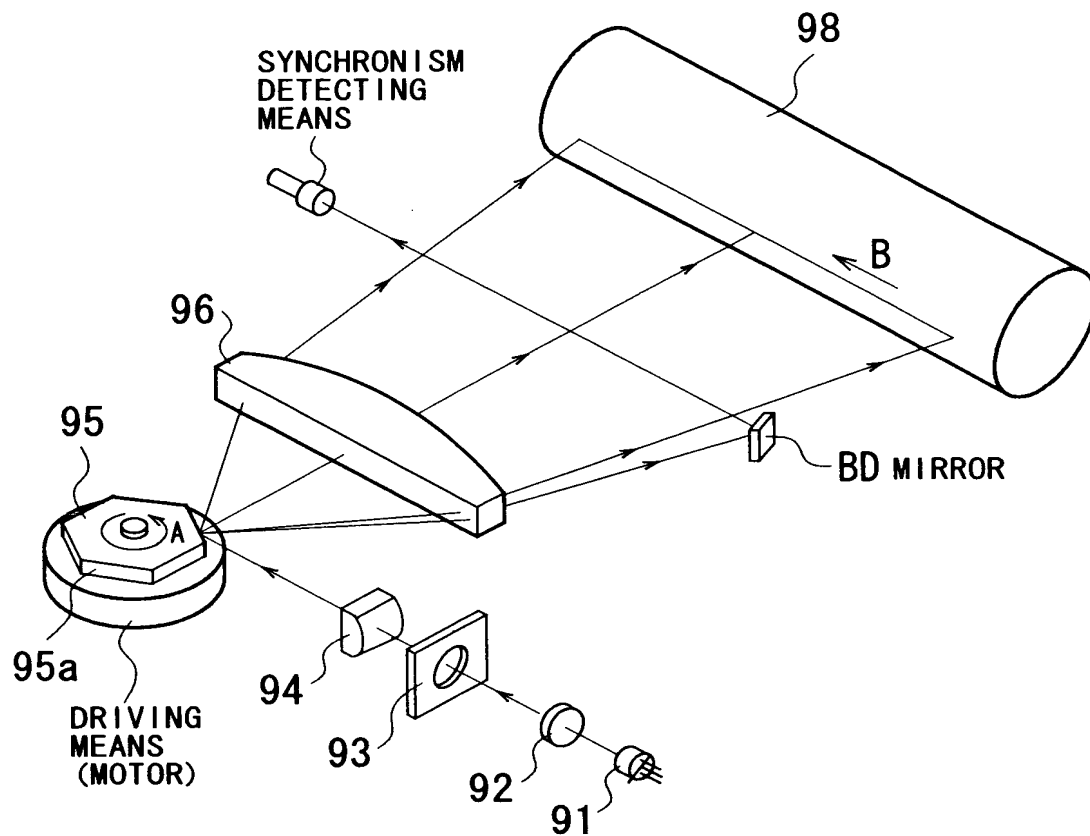
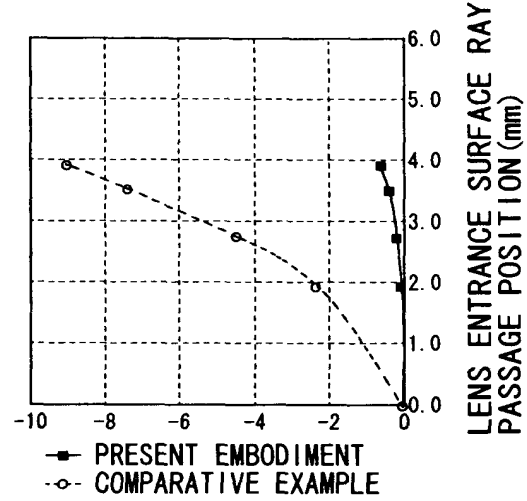


FIG. 19



**FIG. 20**

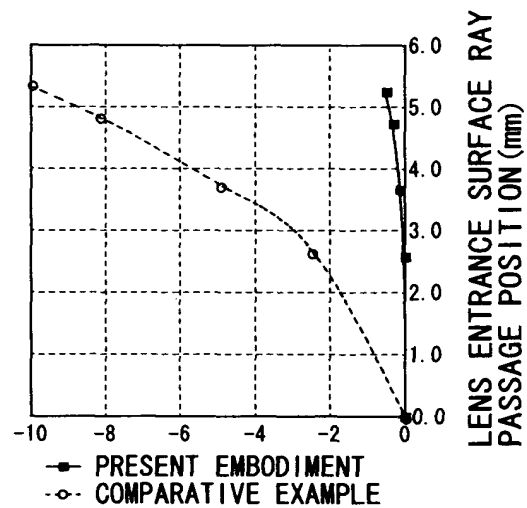
SUB-SCAN SPHERICAL ABERRATION  
COMPARISON (SCAN CENTER)



SPHERICAL ABERRATION (mm)

FIG. 21A

SUB-SCAN SPHERICAL ABERRATION  
COMPARISON (SCAN END PORTION)



SPHERICAL ABERRATION (mm)

FIG. 21B

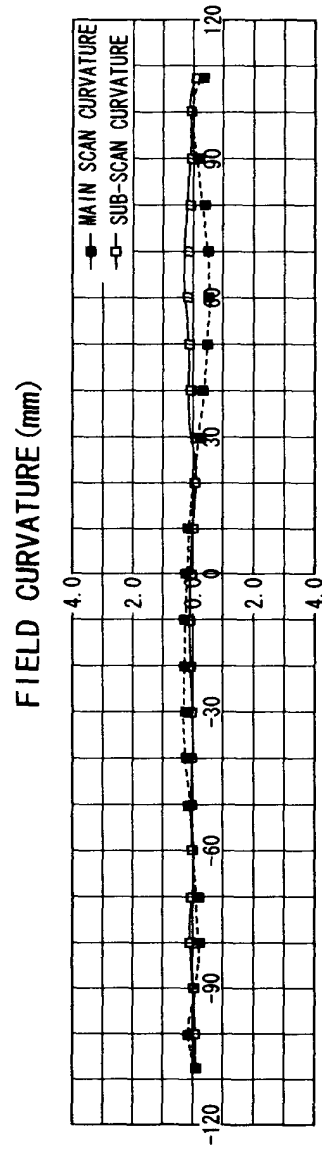


FIG. 22A

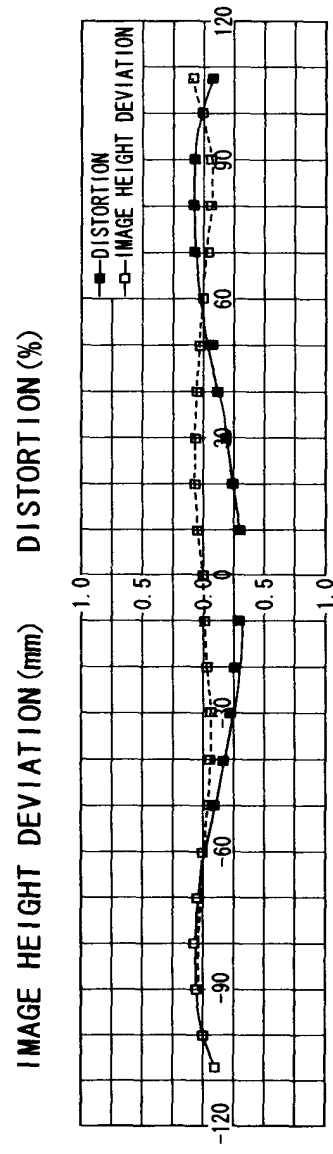


FIG. 22B